

## ИССЛЕДОВАНИЕ ДИНАМИЧЕСКИХ СВОЙСТВ ЭЛЕКТРОГИДРАВЛИЧЕСКОГО СЛЕДЯЩЕГО ПРИВОДА

Э. Г. ФРАНК

(Представлена городской научной конференцией молодых ученых и специалистов)

Электрогидравлические следящие приводы получают все более широкое применение в технике автоматического управления в связи с известными преимуществами электрического управления и гидравлических исполнительных органов [2]. Поэтому изучение динамических свойств электрогидравлических преобразователей и приводов в целом, а также путей их улучшения является актуальным.

В настоящей работе рассматриваются возможности улучшения динамических свойств электрогидравлического преобразователя Г 68—13 и следящего привода с гидродвигателем вращения и обратной связью по положению на основе анализа математической модели динамики привода и экспериментальных исследований.

На рис. 1 приведена схема привода с золотником Г68—13, принцип работы которого известен [1, 3]. Следует лишь сказать, что аналоговая вычислительная машина (АВМ) МН-7 использована здесь для введения ряда корректирующих связей по переменным системы и их производным.

### 1. Динамические свойства преобразователя Г68—13

Совместное решение уравнения движения подвижных элементов электромеханического преобразователя (ЭМП), уравнения движения четыреххромочного золотника и уравнения неразрывности для магистрали управления с учетом масс подвижных элементов, диссипативных сил, сжимаемости жидкости и податливости трубопроводов после линеаризации разложением в ряд Тейлора дает линейное дифференциальное уравнение четвертого порядка, являющееся математической моделью динамики преобразователя Г68—13

$$T_4 \frac{d^4 y}{dt^4} + T_3 \frac{d^3 y}{dt^3} + T_2 \frac{d^2 y}{dt^2} + T_1 \frac{dy}{dt} + y = Ik, \quad (1)$$

где  $y$  — координата четыреххромочного золотника;

$I$  — ток, подведенный к ЭМП.

$$\begin{aligned} T_1 = & \frac{\rho_i f_{i0}}{a} + \frac{2(c_i + \kappa_F P_{y0}) \kappa_p y W_y f_{i0} P_{y0}}{Q_y a} + \frac{2(c_i + \kappa_F P_{y0}) F_3^2 f_{i0} P_{y0}}{Q_y (c_3 + \beta_3) a} + \\ & + \frac{(c_i + \kappa_F P_{y0}) \rho_3 \cdot f_{i0}}{(c_3 + \beta_3) a} + \frac{2 \rho_3 F_{i0} P_{y0} \kappa_i}{(c_3 + \beta_3) a}; \end{aligned} \quad (2)$$

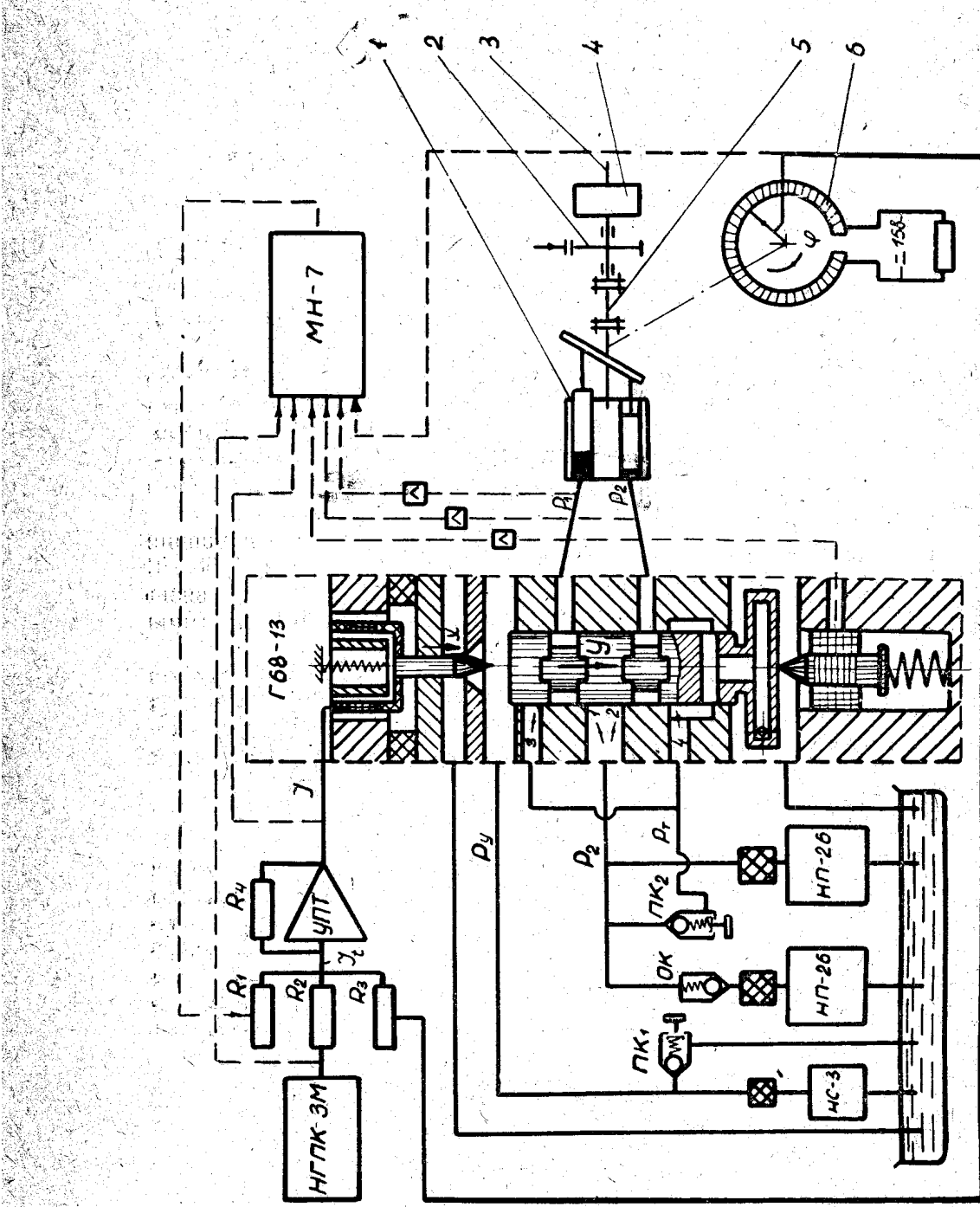


Рис. 1. Принципиальная схема электрогидравлического стелющего привода с золотником Г68-13

$$T_2 = \frac{m_i f_{i0}}{a} + \frac{2 \rho_i K_{py} W_y f_{i0} P_{y0}}{Q_y a} + \frac{2 \rho_i F_3^2 f_{i0} P_{v0}}{Q_y (c_3 + \beta_3) a} + \\ + \frac{\rho_i \rho_3 f_{i0}}{(c_3 + \beta_3) a} + \frac{2(c_i + K_F P_{y0}) K_{py} W_y f_{i0} \rho_3 P_{y0}}{Q_y (c_3 + \beta_3) a}, \quad (3)$$

$$T_3 = \frac{2 m_i K_{py} W_y f_{i0} P_{y0}}{Q_y a} + \frac{2 m_i F_3^2 f_{i0} P_{y0}}{Q_y (c_3 + \beta_3) a} + \\ + \frac{m_i \rho_3 f_{i0}}{(c_3 + \beta_3) a} + \frac{2 \rho_i \rho_3 K_{py} W_y f_{i0} P_{v0}}{Q_y (c_3 + \beta_3) a}; \quad (4)$$

$$T_4 = \frac{2 m_i \rho_3 K_{py} W_y f_{i0} P_{y0}}{Q_y (c_3 + \beta_3) a}, \quad (5)$$

$$k = \frac{k_1 \cdot k_i 2 P_{v0} \cdot F_3}{(c_3 + \beta_3) a}. \quad (6)$$

Здесь

$$a = (c_i + K_F P_{y0}) f_{i0} + 2 P_{y0} F_{i0} K_i,$$

$c_i$  — жесткость пружины ЭМП,  $c_i = 0,0864 \text{ кг/см}$ ;

$m_i$  — масса подвижных элементов ЭМП,  $m_i = 1,53 \cdot 10^{-5} \text{ кгсек}^2/\text{см}$ ;

$K_{py}$  и  $W_y$  — коэффициент податливости и объем магистрали управления соответственно,  $K_{py} = 2,66 \cdot 10^{-1} \text{ см}^2/\text{кг}$ ,

$$W_y = 150 \text{ см}^3;$$

$Q_y$  — расход насоса управления,  $Q_y = 53,6 \text{ см}^3/\text{сек}$ ;

$P_{y0}$  — давление в магистрали управления при нейтральном положении золотника,  $P_{y0} = 7,5 \text{ кг/см}^2$ ;

$\rho_i$  и  $\rho_3$  — коэффициенты диссилиативных сил в ЭМП и золотнике соответственно,  $\rho_i = 1,9 \cdot 10^{-3} \text{ кгсек/см}$ ,  $\rho_3 = 6 \cdot 10^{-3} \text{ кгсек/см}$ ;

$f_{i0}$  — площадь рабочего окна игольчатого клапана в нейтральном положении,  $f_{i0} = 0,0185 \text{ см}^2$ ;

$F_{i0}$  — площадь сечения конуса иглы ЭМП, на которую действует давление  $P_{v0}$  в нейтральном положении,

$$F_{i0} = 0,00885 \text{ см}^2;$$

$K_i$  — коэффициент пропорциональности приращения площади рабочего окна игольчатого клапана координате иглы,  $K_i = 0,167 \text{ см}$ ;

$K_F$  — коэффициент пропорциональности приращения площади поперечного сечения конуса иглы, на которую действует давление управления координате иглы,  $K_F = 0,145 \text{ см}$ ;

$F_3$  — площадь торца золотника,  $F_3 = 2,07 \text{ см}^2$ ;

$c_3$  — жесткость пружины золотника,  $c_3 = 22 \text{ кг/см}$ ;

$\beta_3$  — коэффициент, учитывающий гидродинамические силы на золотнике,  $\beta_3 = 30 \text{ кг/см}$ ;

$k_1$  — коэффициент пропорциональности тока  $J$  в катушке осевой силе, развиваемой ЭМП,  $k_1 = 0,57 \text{ кг/а}$ .

Для исследования динамики преобразователя Г68-13 частотным методом запишем выражения для логарифмической амплитудной  $A$  и фазовой  $\Theta$  частотных характеристик (ЛАХ и ФЧХ) для уравнения (1) [5]:

$$A = 20 \lg k - 20 \lg \sqrt{(1 - T_2 \omega^2 + T_4 \omega^4)^2 + (T_1 \omega - T_3 \omega^3)^2}, \quad (7)$$

$$\Theta = -\arctg \frac{T_1 \omega - T_3 \omega^3}{1 - T_2 \omega^2 + T_4 \omega^4}, \quad (8)$$

Здесь  $\omega$  — частота входного воздействия в  $\text{рад/сек}$ .

Численное решение выражений (7) и (8) с подстановкой параметров преобразователя Г68—13 в выражения (2—6) постоянных времени дало хорошее совпадение с экспериментальными частотными характеристиками в широком диапазоне изменения ряда параметров

$$(Q_y, \kappa_{py}, W_y, \beta_3, c_i \text{ и др.})$$

Анализ частотных характеристик (7) и (8) показал, что улучшению быстродействия преобразователя Г68—13 способствует:

1. Увеличение численного значения параметров:  $c_i$ ,  $Q_y$ ,  $c_3$ , а также угла конуса иглы  $\alpha$  (увеличение  $\kappa_i$ ,  $\kappa_F$ , и  $F_{i0}$ ).
2. Уменьшение  $m_i$ ,  $F_3$  и  $P_{y0}$ .
3. Введение отрицательной обратной связи по положению золотника.

Устойчивость преобразователя Г68—13 анализировалась с помощью алгебраического критерия устойчивости Рауса-Гурвица [5], преобразованного к виду, удобному для графической интерпретации:

$$\frac{T_1 T_2}{T_3} > \frac{1}{1 - \frac{T_1 T_4}{T_2 T_3}}. \quad (9)$$

На рис. 2 показано влияние основных параметров преобразователя Г68—13 на область устойчивости в плоскости

$$\frac{T_1 T_2}{T_3} - \frac{T_1 T_4}{T_2 T_3}.$$

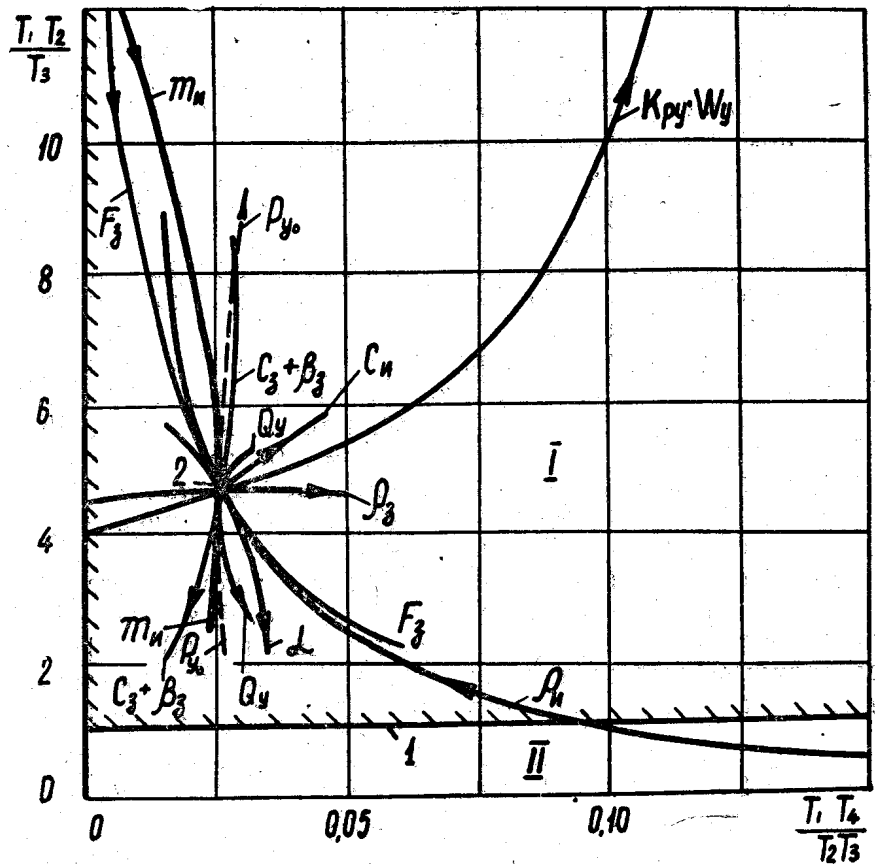


Рис. 2. Влияние параметров преобразователя Г68 на его устойчивость

(Направление стрелок соответствует увеличению значений параметров; точка 2 соответствует значениям параметров преобразователя Г68—13). Большой запас устойчивости преобразователя Г68—13 (точка 2 далеко от границы устойчивости 1) позволяет изменить ряд параметров с целью улучшения частотной характеристики. Так, увеличение  $c_u$ ,  $Q_y$ ,  $c_3$ ,  $\alpha$  и уменьшение  $m_u$ , а также введение обратной связи по положению золотника в реальном преобразователе увеличило полосу пропускания (быстродействие) на 30% без существенной потери устойчивости.

## 2. Динамические свойства привода в целом

Математическая модель привода, при ряде допущений [3], может быть представлена линейным дифференциальным уравнением [3]

$$a_4 \frac{d^4 \varphi}{dt^4} + a_3 \frac{d^3 \varphi}{dt^3} + a_2 \frac{d^2 \varphi}{dt^2} + a_1 \frac{d \varphi}{dt} + \varphi = I \cdot k_1. \quad (10)$$

Здесь  $\varphi$  — координата вала гидромотора;

$a_1$ — $a_4$  — постоянные времени, зависящие от постоянных параметров привода;

$k_1$  — статический коэффициент усиления, зависящий главным образом от коэффициента главной обратной связи  $k_{oc}$ .

Исследование устойчивости привода приведено в работе [3]. Рассмотрим лишь возможность улучшения его динамических свойств введением дополнительных корректирующих связей.

Введем обратную связь по производным от ошибки (сигнала рас согласования) регулирования

$$I = \pm k_1 \frac{d(I_t - \varphi k_{oc})}{dt} \pm k_2 \frac{d^2(I_t - \varphi k_{oc})}{dt^2} \pm k_3 \frac{d^3(I_t - \varphi k_{oc})}{dt^3} \pm \dots \quad (11)$$

Здесь  $I_t$  — входное воздействие;

$k_1$ ,  $k_2$  — коэффициенты дополнительных обратных связей.

Тогда уравнение (10) примет вид

$$\begin{aligned} b_4 \frac{d^4 \varphi}{dt^4} + b_3 \frac{d^3 \varphi}{dt^3} + b_2 \frac{d^2 \varphi}{dt^2} + b_1 \frac{d \varphi}{dt} + \varphi = \\ = I k_2 \pm \frac{d I_t}{dt} k_3 \pm \frac{d^2 I_t}{dt^2} k_4 \pm \frac{d^3 I_t}{dt^3} k_5 \pm \frac{d^4 I_t}{dt^4} k_6. \end{aligned} \quad (12)$$

Здесь  $b_1$ — $b_4$  — новые постоянные времена.

Таким образом, введение обратной связи (11) позволяет изменять постоянные коэффициенты в левой части уравнения (10), определяющие устойчивость и вид ЛАХ и ФЧХ, и, кроме того, позволяют использовать известные преимущества регулирования по производным от сигнала управления [5, 6]. Следует отметить, что введение обратной связи (11) эквивалентно введению обратных связей по четырем производным от координаты вала гидромотора  $\varphi$  и введению четырех производных от сигнала управления  $I_t$ . Кроме того, ввиду трудности получения высоких порядков производных в реальных системах, в ряде случаев возможна замена высокого порядка одной переменной системы более низким порядком другой переменной. Так, в гидросистемах при инерционной нагрузке обратная связь по второй производной  $\frac{d^2 \varphi}{dt^2}$  от координаты исполнительного двигателя эквивалентна обратной связи по перепаду давления (нагрузке)  $\Delta P$  на гидродвига-

теле [2]; обратная связь по  $\frac{d\phi}{dt}$  эквивалентна обратной связи по координате золотника  $y$  и т. д.

Для проверки изложенного метода коррекции динамических характеристик привода был проведен эксперимент на реальном приводе (рис. 1) совместно с АВМ МН-7, позволивший получить ряд производных от переменных привода  $y$ ,  $\Delta P$ ,  $\varphi$ ,  $I$ . Для этого неэлектрические переменные  $y$ ,  $\varphi$  и  $\Delta P$  были преобразованы в электрические при помощи индуктивного, потенциометрического и тензометрических датчиков соответственно. Производные на МН-7 были воспроизведены известными методами неявных функций [4].

На рис. 3 представлены экспериментальные ЛАХ и ФЧХ без дополнительных обратных связей (штриховые линии) и с положительными

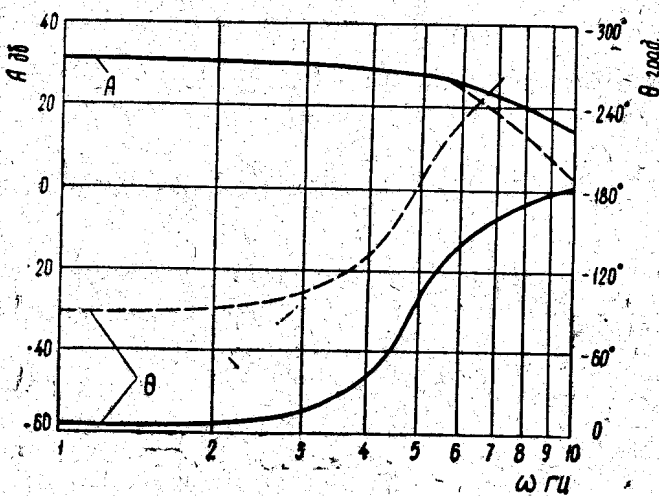


Рис. 3. Экспериментальные ЛАХ и ФЧХ электрогидравлического следящего привода

обратными связями по двум первым производным от сигнала рассогласования  $J = J_t - \varphi_{k_{oc}}$  и отрицательной обратной связью по координате золотника  $y$  (сплошные линии). Из рис. 3 видно, что эти обратные связи существенно увеличили запас по фазе (приблизительно на  $90^\circ$  на всем диапазоне частот).

Экспериментальные исследования, проведенные для большого диапазона величин и сочетаний обратных связей, показали, что применение элементов АВМ для коррекции динамических свойств электрогидравлических следящих систем является эффективным средством.

#### ЛИТЕРАТУРА

- Г. И. Каменецкий. Следящие золотники для станков с программным управлением. «Станки и инструмент», № 5, 1961.
- И. М. Красов. Гидравлические элементы в системах управления. «Машиностроение», М., 1967.
- И. А. Немировский, Э. Г. Франк. Экспериментальное исследование периодического движения с остановками следящего гидропривода. Изв. вузов, «Машиностроение», № 5, М., 1969.
- Г. Корн, Т. Корн. Электронные аналоговые и аналого-цифровые вычислительные машины. Изд-во «Мир», М., 1967.
- Б. Е. Попов. Автоматическое регулирование и управление. Изд-во «Наука», М., 1966.
- П. Хэммонд. Теория обратной связи и ее применение. Физматгиз, М., 1961.